

НЕКОНСЕРВАТИВНЫЕ МОМЕНТЫ И ИХ ВЛИЯНИЕ НА ПРЕЦЕССИЮ НЕКОНТАКТНОГО ГИРОСКОПА

Г. Г. ДЕНИСОВ, В. Н. КОМАРОВ

(Горький)

Исследование прецессионных уравнений движения гироскопа с неконтактным подвесом ротора [1-3] под действием моментов, имеющих силовую функцию, позволило, с одной стороны, детально проанализировать движение в некоторых частных случаях силовой функции и, с другой стороны, установить некоторые общие закономерности, присущие траекториям при произвольных консервативных моментах. В частности, установлено, что в неподвижной относительно Земли системе координат траектории замкнуты и симметричны относительно плоскости местного меридиана.

При большом количестве работ, посвященных влиянию трения на работу гироскопов (см., например, библиографию к обзорам [6, 7]), лишь в некоторых освещены вопросы движения в сопротивляющейся среде твердого тела с закрепленной точкой [8-11]. В данной работе выявлены некоторые общие свойства неконсервативных моментов в гироскопах с неконтактным подвесом и проанализировано их влияние на движение гироскопа.

1. Рассмотрим задачу о траекториях гироскопа с неконтактным осесимметричным подвесом ротора в режиме слежения, при котором с целью уменьшения подводных моментов ось симметрии подвеса совмещается с кинетическим моментом ротора. В этом случае действующие на ротор моменты определяются лишь углом между вертикалью и осью прибора. При рассмотрении будем считать, что энергия моментного воздействия поля подвеса на ротор мала по сравнению с кинетической энергией ротора и связь поступательных и угловых движений ротора пренебрежимо мала.

При сделанных предположениях в неподвижной относительно Земли системе координат прецессионное движение кинетического момента \mathbf{H} описывается уравнением

$$d\mathbf{H}/dt + \mathbf{\Omega} \times \mathbf{H} = \mathbf{M} \quad (1.1)$$

где $\mathbf{\Omega}$ — угловая скорость вращения Земли, а \mathbf{M} — усредненный по свободному движению ротора момент.

Рассмотрим сначала случай, когда момент \mathbf{M} имеет консервативную природу. Усредненная по свободному движению ротора силовая функция W [3] его взаимодействия с осесимметричным полем подвеса является четной и периодической функцией угла Θ между вертикалью и кинетическим моментом, что позволяет представить ее суммой полиномов Лежандра [4, 5]:

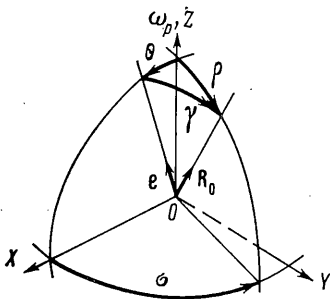
$$W = \sum_l^{L_w} A_l P_l(\cos \Theta) \quad (1.2)$$

откуда для консервативного момента имеем

$$\mathbf{M} = \frac{\mathbf{e} \times \mathbf{h}_0}{\sin \Theta} \frac{dW}{d\Theta} = -(\mathbf{e} \times \mathbf{h}_0) W' \quad (1.3)$$

где штрих означает дифференцирование по $\cos \Theta$, а \mathbf{e} и \mathbf{h}_0 — орты вертикали и кинетического момента.

Если же момент \mathbf{M} имеет неконсервативную природу, то естественно предположить, что он создается тангенциальными силами, действующими на поверхности ротора, причем локально эти силы направлены против скорости \mathbf{u} движения поверхности, а плотность их f_τ зависит от величины u и пропорциональна плотности нормальных сил f_n . Рассмотрим сферически симметричную систему «подвес — ротор», в которой в отсутствие силы тяжести плотность сил f_n в любой точке поверхности ротора постоянна. При действии силы тяжести устанавливается некоторое распределение $f_n(\cos \gamma)$ на поверхности ротора с осью симметрии вдоль вертикали, где $\cos \gamma = \mathbf{e} \cdot \mathbf{R}_0$.



Фиг. 1

Введем правую систему координат XYZ с началом в неподвижной точке ротора, полярной осью OZ вдоль мгновенной угловой скорости ротора ω_p относительно подвеса и осью OY по нормали к плоскости векторов ω_p и \mathbf{g} (фиг. 1). Координаты текущей точки \mathbf{R} поверхности сферического ротора зададим углами ρ и σ .

С учетом сделанных предположений тангенциальная сила, действующая на элемент ds поверхности ротора, запишется в виде

$$\mathbf{f}_\tau(\gamma, \mathbf{u}) ds = -f_n(\cos \gamma) Q(u) \mathbf{u}_0 ds$$

$$f_n(\cos \gamma) = \sum_l^L f_l P_l(\cos \gamma), \quad Q(u) = \sum_k q_k u^k$$

где функция $f_n(\cos \gamma)$ характеризует распределение нормальных сил на поверхности ротора, а $Q(u)$ определяет зависимость плотности тангенциальных сил от скорости $u = \omega_p R \sin \rho$ элемента поверхности. (Если ряд содержит лишь один член с $k=0$ — сухое трение; $k=1$ — вязкое.) Учитывая приведенные разложения, запишем окончательное выражение для плотности тангенциальных сил на поверхности ротора и неконсервативного момента

$$\mathbf{f}_\tau = -\frac{1}{R^3} \mathbf{u}_0 \sum_k \sum_l^L f_{lk} P_l(\cos \gamma) \sin^k \rho \quad (1.4)$$

$$f_{lk} = f_l q_k \omega_p^k R^{k+3}, \quad \mathbf{M} = \int_s (\mathbf{R} \times \mathbf{f}_\tau) ds$$

где интегрирование проводится по поверхности сферического ротора.

С использованием теоремы сложения для полиномов Лежандра

$$P_l(\cos \gamma) = P_l(\cos \Theta) P_l(\cos \rho) + 2 \sum_{m=1}^l \frac{(l-m)!}{(l+m)!} P_l^m(\cos \Theta) P_l^m(\cos \rho) \cos m\sigma$$

после интегрирования по углу σ получим

$$\begin{aligned} M &= iM_x + kM_z = -i \sum_k \sum_l^L 2\pi f_{lk} \frac{P_l^1(\cos \Theta)}{l(l+1)} \int_0^\pi \cos \rho \sin^{k+1} \rho P_l^1(\cos \rho) d\rho - \\ &- k \sum_k \sum_l^L 2\pi f_{lk} P_l(\cos \Theta) \int_0^\pi \sin^{k+2} \rho P_l(\cos \rho) d\rho = \\ &= i \sum_{l=2}^{L_v} B_l P_l^1(\cos \Theta) + k \sum_{l=0}^{L_v} \Lambda_l P_l(\cos \Theta) \end{aligned} \quad (1.5)$$

В силу свойств интегралов для нечетных l имеем $B_l = \Lambda_l = 0$, а суммирование производится до $L_v = \min \{k+1, 2E(1/2L)\}$ при нечетных k (при $l > L_v$, $B_l = \Lambda_l = 0$) и до $L_v = 2E(1/2L)$ при четных k .

Пример 1. Сухое трение: $Q(u) = \alpha_0$

$$\begin{aligned} M_x &= -1/64\pi^2 [f_{20}P_2^1(\cos \Theta) + 1/8f_{40}P_4^1(\cos \Theta) + 1/128f_{60}P_6^1(\cos \Theta) + \dots] \\ M_z &= -1/2\pi^2 [f_{00}P_0(\cos \Theta) - 1/8f_{20}P_2(\cos \Theta) - 1/64f_{40}P_4(\cos \Theta) + \dots] \end{aligned}$$

где ряды заканчиваются высшей четной гармоникой разложения $f_n(\cos \gamma)$ в ряд по полиномам Лежандра $L_v = 2E(1/2L)$.

Пример 2. Вязкое трение: $Q(u) = \alpha_1 u$

$$M_x = -1/15\pi f_{21}P_2^1(\cos \Theta), \quad M_z = -8/15\pi [f_{01}P_0(\cos \Theta) - 1/5f_{21}P_2(\cos \Theta)]$$

независимо от L .

Таким образом, если трение вязкое, то при произвольной плотности сил уводящий момент содержит только $P_2^1(\cos \Theta)$ и определяется амплитудой лишь второй гармоники f_2 разложения плотности сил по полиномам Лежандра. Следовательно, если создать конфигурацию поля подвеса такой, что $f_2 = 0$, то при вязком трении уводящий момент исчезает, а тормозящий момент не зависит от наклона подвеса.

Сделаем некоторые общие заключения о характере неконсервативных моментов.

Мгновенный момент находится в плоскости векторов ω_p и g . Заметим, что так как для установившегося режима вращения ротора среднее положение ω_p совпадает с направлением его кинетического момента, то усредненные по свободному движению ротора неконсервативные моменты лежат в плоскости векторов H и g^1 . Вид и направление полученных моментов позволяет записать средние значения уводящего момента M_τ и тормозящего момента M_h следующим образом:

$$\begin{aligned} M_\tau &= \frac{(e \times h_0) \times h_0}{\sin \Theta} \sum_{l=2}^{L_v} B_l P_l^1(\cos \Theta) \\ M_h &= -h_0 \sum_{l=0}^{L_v} \Lambda_l P_l(\cos \Theta), \quad \cos \Theta = e \cdot h_0 \end{aligned} \quad (1.6)$$

¹ Можно показать, что если $(M \cdot \omega_p) \leq 0$ для всех Θ , то установившийся режим вращения ротора представляет собой асимптотически устойчивое вращение вокруг оси с наибольшим моментом инерции.

В выражениях (1.6) входят полиномы Лежандра лишь с четными номерами. Это является отражением того факта, что для неконсервативного момента должно выполняться условие

$$M(\omega) = -M(-\omega) \quad (1.7)$$

Действительно, в выражениях (1.6) вместе с заменой ω на $-\omega$ необходимо еще произвести замену Θ на $\pi - \Theta$. При этом для выполнения условия (1.7) необходимо, чтобы $P_l(\cos \Theta) = P_l(-\cos \Theta)$, $P_l^1(\cos \Theta) = -P_l^1(-\cos \Theta)$, что возможно лишь при четных l .

В силу общности условия (1.7) четность l для неконсервативных моментов будет иметь место не только при поверхностном воздействии поля на ротор, но и в более общем случае.

Приведенные результаты получены из рассмотрения сферически симметричного подвеса, но, как показывают вычисления, они остаются в силе и для осесимметричного подвеса с плоскостью симметрии.

Обычно M_θ либо компенсируется специальным двигателем, либо настолько мал, что его действием можно пренебречь. В связи с этим в уравнении (1.1) будем учитывать лишь уводящие моменты.

Выражение (1.6) для уводящего неконсервативного момента позволяет ввести формально функцию

$$V(\cos \Theta) = \sum_{l=2}^{L_v} B_l P_l(\cos \Theta)$$

и представить этот момент в виде

$$M = \frac{(\mathbf{e} \times \mathbf{h}_0) \times \mathbf{h}_0}{\sin \Theta} \frac{dV}{d\Theta} = -V'(\mathbf{e} \times \mathbf{h}_0) \times \mathbf{h}_0$$

2. С введением силовых функций $W(\cos \Theta)$ и $V(\cos \Theta)$ уравнение движения запишется в виде

$$d\mathbf{H}/dt + \Omega \times \mathbf{H} = -W'(\mathbf{e} \times \mathbf{h}_0) - V'(\mathbf{e} \times \mathbf{h}_0) \times \mathbf{h}_0 \quad (2.1)$$

причем $H^2 = \text{const}$, в чем легко убедиться, умножив уравнение скалярно на \mathbf{H} . Предполагая использование асимптотических методов для исследования приведенного уравнения, перейдем к безразмерным переменным и параметрам:

$$\tau = \omega_* t, \quad \omega = \Omega / \omega_*, \quad w = W / H \omega_*, \quad v = V / H \omega_*,$$

$$a_i = A_i / H \omega_*, \quad b_i = B_i / H \omega_*, \quad a = \sqrt{\sum_i a_i^2}, \quad b = \sqrt{\sum_i b_i^2}.$$

В произвольной неподвижной относительно Земли системе координат X_i ($i=1, 2, 3$), где орты \mathbf{h}_0 , \mathbf{e} , Ω_0 заданы через соответствующие сферические углы

$$\mathbf{h}_0 \{ \sin \vartheta \cos \varphi, \sin \vartheta \sin \varphi, \cos \vartheta \}, \quad \mathbf{e} \{ \sin \rho_1 \cos \sigma_1, \sin \rho_1 \sin \sigma_1, \cos \rho_1 \}$$

$$\Omega_0 \{ \sin \rho_2 \cos \sigma_2, \sin \rho_2 \sin \sigma_2, \cos \rho_2 \}$$

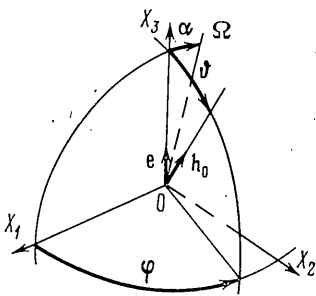
уравнение (2.1) эквивалентно системе двух скалярных уравнений

$$\dot{\vartheta} = -\frac{1}{\sin \vartheta} \frac{\partial w}{\partial \varphi} + \frac{\partial v}{\partial \vartheta} + \omega \sin \rho_2 \sin(\varphi - \sigma_2) \quad (2.2)$$

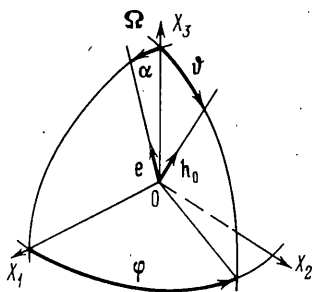
$$\dot{\varphi} \sin \vartheta = \frac{\partial w}{\partial \vartheta} + \frac{1}{\sin \vartheta} \frac{\partial v}{\partial \varphi} + \omega [\sin \rho_2 \cos \vartheta \cos(\varphi - \sigma_2) - \cos \rho_2 \sin \vartheta]$$

где точкой обозначено дифференцирование по t . Выбор конкретной системы координат и масштаба времени ω_*^{-1} определяется решаемой задачей и соотношением входящих в уравнение параметров.

Таким образом, задача о прецессионном движении неконтактного гироскопа свелась к исследованию нелинейной динамической системы второго порядка на сфере. Представляет интерес качественный вид траекторий на единичной сфере $h_0^2=1$ и зависимость их от параметров системы. Как известно [12, 13], для выяснения качественной картины разбиения сферы на ячейки с одинаковым характером траекторий, задаваемых уравне-



Фиг. 2



Фиг. 3

ниями (2.2), достаточно знания особых траекторий: состояний равновесия, предельных циклов и их устойчивости, сепаратрисных траекторий.

Для отыскания состояний равновесия и исследования их устойчивости при произвольном соотношении параметров уравнений удобно перейти в систему координат (фиг. 2) с полярной осью OX_3 , направленной по вертикали ($\rho_1=0$), и отсчетной осью OX_1 , лежащей в плоскости местного меридиана ($\rho_2=\alpha$, $\sigma_2=\pi$). В этом случае $\Theta=\vartheta$ и уравнения (2.2) принимают вид

$$\dot{\vartheta} = -\sin \vartheta v' (\cos \vartheta) - \omega \sin \alpha \sin \varphi \quad (2.3)$$

$$\dot{\varphi} \sin \vartheta = -\sin \vartheta w' (\cos \vartheta) - \omega (\sin \alpha \cos \vartheta \cos \varphi + \cos \alpha \sin \vartheta)$$

где α — дополнение к широте места.

Состояния равновесия ϑ_p , φ_p определяются системой уравнений

$$\sin^2 \vartheta [(v' \cos \vartheta)^2 + (w' + \omega \cos \alpha)^2] = \omega^2 \sin^2 \alpha \cos^2 \vartheta \quad (2.4)$$

$$\operatorname{tg} \varphi = v' \cos \vartheta (w' + \omega \cos \alpha)^{-1}$$

а их устойчивость обеспечивается при выполнении неравенств

$$\operatorname{tg} \vartheta \frac{d}{d\vartheta} [(v' \cos \vartheta)^2 + (w' + \omega \cos \alpha)^2] + 2\omega^2 \frac{\sin^2 \alpha}{\sin^2 \vartheta} \Big|_{\vartheta_p} > 0 \quad (2.5)$$

$$\sin^2 \vartheta v'' - 2 \cos \vartheta v' = - \sum_{l=2}^{L_v} b_l l(l+1) P_l(\cos \vartheta) \Big|_{\vartheta_p} < 0$$

Выполнение первого из неравенств обеспечивает неседловой характер состояния равновесия (узел или фокус), а второго — его асимптотическую устойчивость, определяемую лишь неконсервативными моментами.

Из уравнений (2.4) следует, что число m состояний равновесия всегда четно и $m \leq 2 \max \{L_w, L_v + 1\}$.

Отыскание предельных циклов системы уравнений (2.2) в общем случае едва ли возможно из-за отсутствия регулярных и достаточно эффективных методов, однако в некоторых частных случаях эта задача легко решается.

3. Рассмотрим движение при больших по сравнению с влиянием вращения Земли моментах: ($ab=1$; $\omega \sim \varepsilon \ll 1$). Уравнения (2.3) для этого случая запишем в виде

$$\dot{\vartheta} + \sin \vartheta v' = -\varepsilon \sin \alpha \sin \varphi \quad (3.1)$$

$$(\dot{\varphi} + w') \sin \vartheta = -\varepsilon (\sin \alpha \cos \vartheta \cos \varphi + \cos \alpha \sin \vartheta)$$

Будем искать решение в виде $\vartheta = \vartheta^{(0)} + \varepsilon \vartheta^{(1)} + \dots$; $\varphi = \varphi^{(0)} + \varepsilon \varphi^{(1)} + \dots$.

В порождающей системе ($\varepsilon=0$) существуют лишь два изолированных состояния равновесия $\vartheta_p=0$; π , устойчивые при $\cos \vartheta v'|_{\vartheta_p} > 0$ и неустойчивые при $\cos \vartheta v'|_{\vartheta_p} < 0$. В системе имеются замкнутые траектории (предельные циклы), число и положение которых определяется корнями уравнения $v'(\cos \vartheta) = 0$. Очевидно, что число их не превышает $(L_0 - 1)$. Угловая скорость прецессии гироскопа на этих циклах постоянна и равна $\dot{\varphi} = -w'$. В частном случае совпадения корней уравнений $v'=0$ и $w'=0$ эти циклы представляют собой континуумы состояний равновесия. Устойчивость циклов, как и состояний равновесия, определяется лишь неконсервативными моментами: цикл устойчив при $v'' < 0$ и неустойчив при $v'' > 0$.

Заметим, что порождающая система при произвольных начальных условиях решается в квадратурах

$$\tau - \tau_0 = \int_{\cos \vartheta_0}^{\cos \vartheta} \frac{d\xi}{(1 - \xi^2) v'(\xi)}, \quad \varphi - \varphi_0 = - \int_{\tau_0}^{\tau} w'[\cos \vartheta(\xi)] d\xi$$

Функции $\vartheta^{(1)}$ и $\varphi^{(1)}$ подчиняются уравнениям

$$\dot{\vartheta}^{(1)} + (\cos \vartheta^{(0)} v' - \sin^2 \vartheta^{(0)} v'') \vartheta^{(1)} = -\sin \alpha \sin \varphi^{(0)} \quad (3.2)$$

$$\dot{\varphi}^{(1)} \sin \vartheta^{(0)} - \sin^2 \vartheta^{(0)} w'' \varphi^{(1)} = -(\sin \alpha \cos \vartheta^{(0)} \cos \varphi^{(0)} + \cos \alpha \sin \vartheta^{(0)})$$

Уточнение решения, т. е. нахождение $\vartheta^{(1)}(\tau)$ и $\varphi^{(1)}(\tau)$, затруднено сложностью зависимостей $\vartheta^{(0)}(\tau)$ и $\varphi^{(0)}(\tau)$. Значительно проще уточняются траектории. Действительно, так как из (3.1) $d\tau = -d\vartheta^{(0)} / \sin \vartheta^{(0)} v'$, то нетрудно получить

$$\vartheta^{(1)} = \sin \alpha \sin \vartheta v' \int_{\vartheta_0}^{\vartheta} \frac{\sin \varphi(\vartheta)}{(\sin \vartheta v')^2} d\vartheta$$

$$\varphi^{(1)} = \int_{\vartheta_0}^{\vartheta} \frac{\sin \alpha \cos \vartheta \cos \varphi(\vartheta) + \cos \alpha \sin \vartheta - \vartheta^{(1)} \sin^2 \vartheta w''}{\sin^2 \vartheta v'} d\vartheta$$

где ϑ и φ берутся вдоль порождающего решения.

Анализ уравнений (3.2) показывает, что если в порождающей системе имелись предельные циклы, то они сохраняются, несколько изменяя свою форму ($\vartheta \neq \text{const}$), и при учете членов первого приближения.

Таким образом, при больших моментах поверхность единичной сферы $h_0^2=1$ оказывается разделенной на охватывающие вертикаль пояса, границами которых служат предельные циклы. При начальных условиях (ϑ_0, φ_0) вне циклов и состояний равновесия траектории гироскопа представляют собой спирали, скручивающиеся с неустойчивых предельных

циклов и состояний равновесия и накручивающиеся на устойчивые предельные циклы и состояния равновесия.

Пример 3. Прецессия гироскопа под действием моментов с функциями $w = a_1 P_1 + \frac{1}{3} a_2 P_2$ и $v = \frac{1}{3} b_2 P_2$, где функция w может быть обусловлена, например, небалансом ротора и его эллипсоидальностью, а v — вязким трением.

При $\varepsilon = 0$ траектории задаются уравнением

$$b_2 \varphi - a_1 \ln |\operatorname{tg} \vartheta| - a_2 \ln \left| \operatorname{tg} \frac{\vartheta}{2} \right| = C$$

а зависимость от времени определяется выражением

$$\operatorname{tg} \vartheta = \operatorname{tg} \vartheta_0 \exp [-b_2 (\tau - \tau_0)]$$

В зависимости от начальных условий (ϑ_0, φ_0) траектория целиком лежит в одной из полусфер $0 \leq \vartheta < \frac{1}{2}\pi$ ($\frac{1}{2}\pi < \vartheta \leq \pi$), стягиваясь (при $b_2 > 0$) к устойчивому состоянию равновесия $\vartheta_p = 0$ ($\vartheta_p = \pi$). Граница раздела полусфер $\vartheta = \frac{1}{2}\pi$ представляет собой неустойчивый предельный цикл с постоянной вдоль него угловой скоростью, определяемой лишь небалансом: $\dot{\varphi} = -a_1$. Учет скорости вращения Земли позволяет уточнить форму цикла

$$\vartheta \approx \frac{1}{2}\pi + \varepsilon (a_1^2 + b_2^2)^{-1} \sin \alpha (b_2 \sin \varphi + \cos \varphi)$$

и угловой скорости вдоль него

$$\dot{\varphi} \approx -(a_1 + \varepsilon \cos \alpha) + \varepsilon (a_1^2 + b_2^2)^{-1} a_2 \sin \alpha (b_2 \sin \varphi + \cos \varphi)$$

Со сменой знака b_2 меняется устойчивость состояний равновесия и цикла.

4. Случай малых моментов ($\omega_* = \Omega$, $\sqrt{ab} \sim \varepsilon \ll 1$) удобнее рассмотреть в системе координат X_i с полярной осью OX_3 (см. фиг. 3) вдоль Ω ($\rho_2 = 0$, $\rho_1 = \alpha$, $\sigma_1 = 0$), где уравнения (2.2) примут вид

$$\dot{\vartheta} = -\varepsilon \left(\frac{1}{\sin \vartheta} \frac{\partial w}{\partial \varphi} - \frac{\partial v}{\partial \vartheta} \right), \quad \dot{\varphi} + 1 = \frac{\varepsilon}{\sin \vartheta} \left(\frac{\partial w}{\partial \vartheta} + \frac{1}{\sin \vartheta} \frac{\partial v}{\partial \varphi} \right)$$

Представив переменные ϑ и φ в виде: $\vartheta = \vartheta^{(0)} + \varepsilon \vartheta^{(1)} + \dots$; $\varphi = \varphi^{(0)} + \varepsilon \varphi^{(1)} + \dots$, где $\vartheta^{(0)}$ и $\varphi^{(0)}$ — порождающее решение; $\vartheta^{(0)} = \text{const}$; $\dot{\varphi}^{(0)} = \varphi_0^{(0)} - (\tau - \tau_0)$ — движение идеального гироскопа — в первом приближении по ε получим

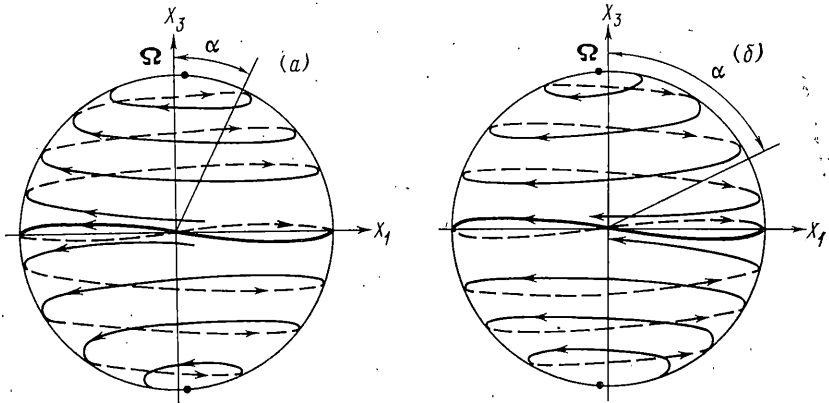
$$\vartheta^{(1)} = \frac{1}{\sin \vartheta} [w(\vartheta, \varphi) - w(\vartheta, \varphi_0)] - \frac{\partial}{\partial \vartheta} \int_{\varphi_0}^{\varphi} v(\vartheta, \xi) d\xi$$

$$\varphi^{(1)} = \frac{1}{\sin^2 \vartheta} [v(\vartheta, \varphi_0) - v(\vartheta, \varphi)] - \frac{1}{\sin \vartheta} \frac{\partial}{\partial \vartheta} \int_{\varphi_0}^{\varphi} w(\vartheta, \xi) d\xi$$

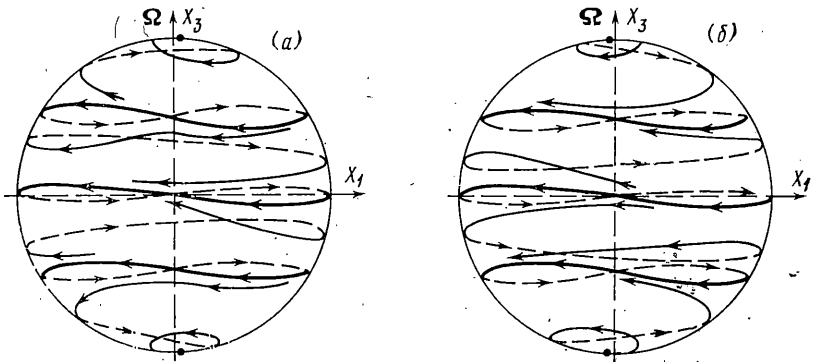
$$(\vartheta = \vartheta^{(0)}; \varphi = \varphi^{(0)})$$

Так как

$$\begin{aligned} \left\| \frac{w}{v} \right\| &= \sum_l \left\| \frac{a_l}{b_l} \right\| \left[P_l(\cos \alpha) P_l(\cos \vartheta) + \right. \\ &\left. + 2 \sum_{m=1}^l \frac{(l-m)!}{(l+m)!} P_l^m(\cos \alpha) P_l^m(\cos \vartheta) \cos m\varphi \right] \end{aligned}$$



Фиг. 4



Фиг. 5

ТО

$$\vartheta^{(1)} = \sum_l [(\tau - \tau_0) \lambda_l(\vartheta) + \vartheta_l^{(1)}(\vartheta, \varphi) - \vartheta_l^{(1)}(\vartheta, \varphi_0)] \Big|_{\substack{\vartheta = \vartheta(0) \\ \varphi = \varphi(0)}}$$

$$\lambda_l = b_l P_l(\cos \alpha) P_l^1(\cos \vartheta)$$

$$\vartheta_l^{(1)} = 2 \sum_{m=1}^l \frac{(l-m)!}{(l+m)!} P_l^m(\cos \alpha) \left\{ \frac{a_l P_l^m(\cos \vartheta)}{\sin \vartheta} \cos m\varphi - \frac{b_l}{m} [m \operatorname{ctg} \vartheta P_l^m(\cos \vartheta) + P_l^{m+1}(\cos \vartheta)] \sin m\varphi \right\}$$

Аналогично

$$\varphi^{(1)} = \sum_l [\omega_l(\vartheta) (\tau - \tau_0) + \varphi_l^{(1)}(\vartheta, \varphi) - \varphi_l^{(1)}(\vartheta, \varphi_0)] \Big|_{\substack{\vartheta = \vartheta(0) \\ \varphi = \varphi(0)}}$$

$$\omega_l = a_l \sin^{-1} \vartheta P_l(\cos \alpha) P_l^1(\cos \vartheta)$$

$$\varphi_l^{(1)} = -\frac{2}{\sin \vartheta} \sum_{m=1}^l \frac{(l-m)!}{(l+m)!} P_l^m(\cos \alpha) \left\{ \frac{b_l P_l^m(\cos \vartheta)}{\sin \vartheta} \cos m\varphi + \frac{a_l}{m} [m \operatorname{ctg} \vartheta P_l^m(\cos \vartheta) + P_l^{m+1}(\cos \vartheta)] \sin m\varphi \right\}$$

Из полученных выражений видно, что наличие малых консервативных моментов ($a_i \neq 0$) лишь несколько изменяет период обращения вектора \mathbf{H} и форму траектории, в то время как неконсервативные моменты ($b_i \neq 0$) меняют характер траекторий — разрушают их замкнутость.

Количество и расположение замкнутых траекторий или предельных циклов в первом приближении по ε определяется корнями уравнения

$$\lambda = \sum_l \lambda_l = \sum_l b_l P_l(\cos \alpha) P_l^1(\cos \vartheta) = 0 \quad (4.1)$$

Очевидно, что число таких траекторий не превышает $(L_0 - 1)$. Уравнение (4.1) позволяет не только найти предельные циклы $\lambda(\vartheta_*) = 0$, но и сделать вывод об их устойчивости: цикл устойчив при $\lambda_{\vartheta_*}' < 0$ и неустойчив при $\lambda_{\vartheta_*}' > 0$.

Необходимо отметить, что число состояний равновесия и циклов, их расположение и устойчивость определяется не только действующими моментами; но и широтой места нахождения гироскопа. Так, если диссипативный момент представлен второй гармоникой $v = b_2 P_2$ ($b_2 > 0$), то равновесные положения гироскопа $\vartheta_p \approx 0$; π (ориентация на Полярную Звезду и противоположная ей) асимптотически устойчивы, а предельный цикл $\vartheta_* \approx 1/2\pi$ неустойчив при $3 \cos^2 \alpha > 1$, т. е. в широтах выше 35° . Качественное поведение траектории для различных широт приведено на фиг. 4 (фиг. 4, а соответствует $3 \cos^2 \alpha > 1$, а фиг. 4, б — $3 \cos^2 \alpha < 1$). На фиг. 5 приведены аналогичные картины при действии момента $v = b_l P_l$ (фиг. 5, а соответствует $0 \leq \cos^2 \alpha \leq 0.1156$ или $0.7416 \leq \cos^2 \alpha \leq 1$, фиг. 5, б — $0.1156 \leq \cos^2 \alpha \leq 0.7416$).

Уводящие моменты с более высокими номерами гармоник и, в особенности, их суперпозиция делают картину разбиения сферы более сложной, зависящей в общем случае от широты места и от соотношения амплитуд гармоник. Так, если диссипативный момент мал и представлен лишь l -й гармоникой, то имеются два состояния равновесия и $(l-1)$ циклов, устойчивость которых при изменении α от нуля до π меняется l раз.

Поступила 25 IV 1978

ЛИТЕРАТУРА

1. Мартыненко Ю. Г. Уходы электростатического гироскопа, вызываемые несферичностью ротора. Изв. АН СССР. МТТ, 1970, № 1.
2. Климов Д. М., Космодемьянская Г. Н., Черноусько Ф. Л. О движении гироскопа с неконтактным подвесом. Изв. АН СССР. МТТ, 1972, № 2.
3. Белецкий В. В. Динамика быстрых вращений. Научн. тр. Ин-та механики МГУ, 1973, № 29.
4. Денисов Г. Г., Комаров В. Н. О траекториях гироскопа с осесимметричным подвесом ротора при учете вращения Земли. Изв. вузов. Приборостроение, 1975, № 5.
5. Денисов Г. Г., Урман Ю. М. Прецессионные движения твердого тела под действием моментов, имеющих силовую функцию. Изв. АН СССР. МТТ, 1975, № 6.
6. Бутенин Н. В., Климов Д. М., Луцк Я. Л., Степанов Н. П. Нелинейные задачи теории гироскопических систем. В сб.: Развитие механики гироскопических и инерциальных систем. М., «Наука», 1973.
7. Бутенин Н. В., Климов Д. М. Успехи механики гироскопических и инерциальных систем в СССР. Изв. вузов. Приборостроение, 1977, т. 20, № 10.
8. Булгаков Б. В. Прикладная теория гироскопов. Изд-во МГУ, 1976.
9. Белецкий В. В. Движение искусственного спутника относительно центра масс. М., «Наука», 1965.
10. Кошляков В. Н. О некоторых частных случаях интегрирования динамических уравнений Эйлера, связанных с движением гироскопа в сопротивляющейся среде. ПММ, 1953, т. 17, вып. 2.
11. Лещенко Д. Д. О движении тяжелого твердого тела с неподвижной точкой в слабо сопротивляющейся среде. Прикл. механ. 1975, т. 11, вып. 3.
12. Андронов А. А., Витт А. А., Хайкин С. Э. Теория колебаний. М., Физматгиз, 1959.
13. Андронов А. А., Леонтович Е. А., Гордон И. И., Майер А. Г. Качественная теория динамических систем второго порядка. М., «Наука», 1966.